



Universitas Gadjah Mada  
Fakultas Teknik  
Departemen Teknik Sipil dan Lingkungan  
Program Sarjana Prodi Teknik Sipil

**Teknik Sungai**

# **Transpor Sedimen**

# Transpor Sedimen dan Aliran Air



S. Rokan (2008)



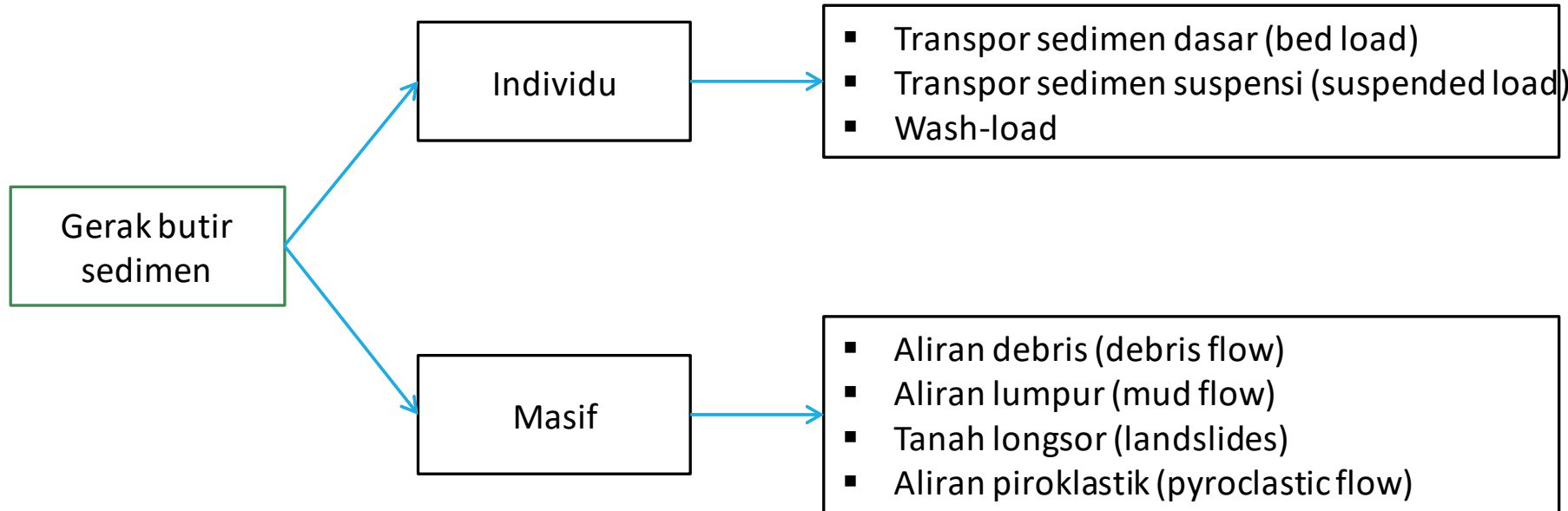
S. Progo (2010)



S. Code (2011)

2 Transpor sedimen dalam aliran air dengan berbagai kuantitas kandungan sedimen di dalam aliran air sungai

# Klasifikasi Transpor Sedimen



# Karaktersitika Transpor Sedimen

	Material	Gaya dominan
Gerak masif	Campuran air dan sedimen	Gaya gravitasi
Gerak individu	Sedimen	Gaya fluida (air)

# Sumber Sedimen dan Mekanisme Transpor Sedimen

Sumber Sedimen

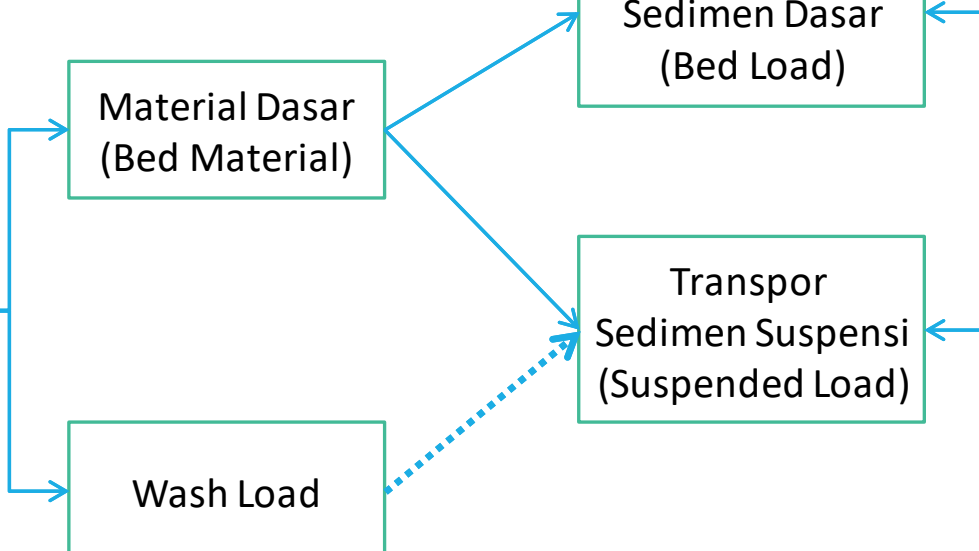
Material Dasar  
(Bed Material)

Wash Load

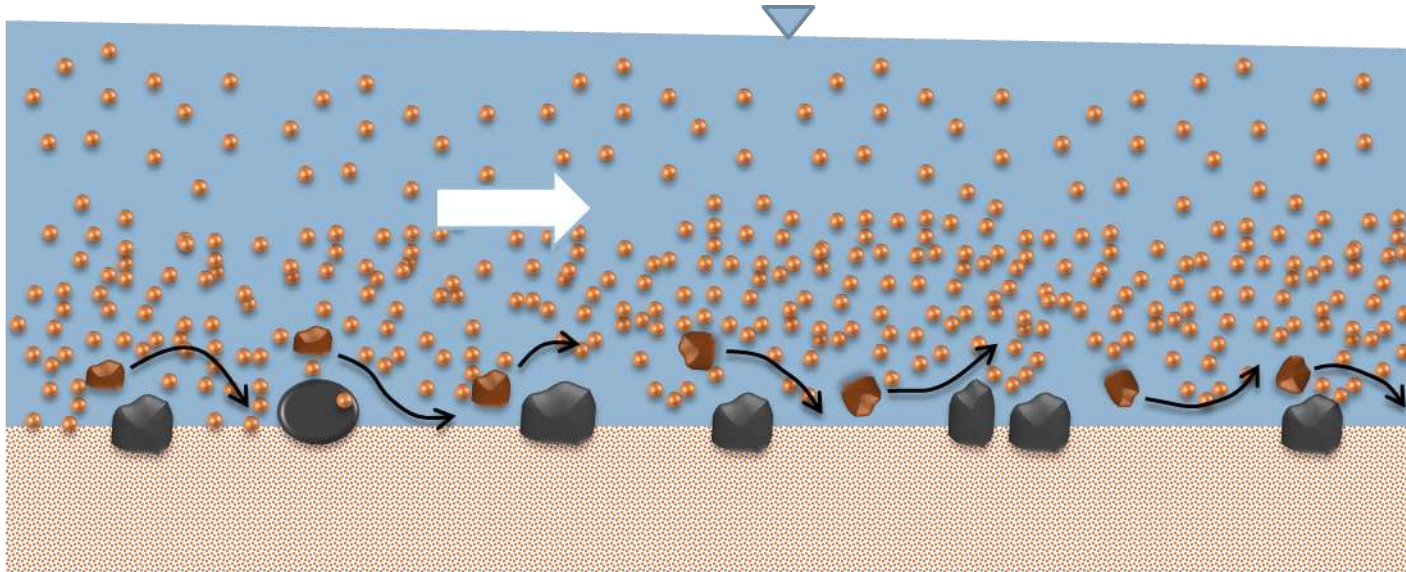
Transpor  
Sedimen Dasar  
(Bed Load)

Transpor  
Sedimen Suspensi  
(Suspended Load)

Mekanisme  
Transpor  
Sedimen



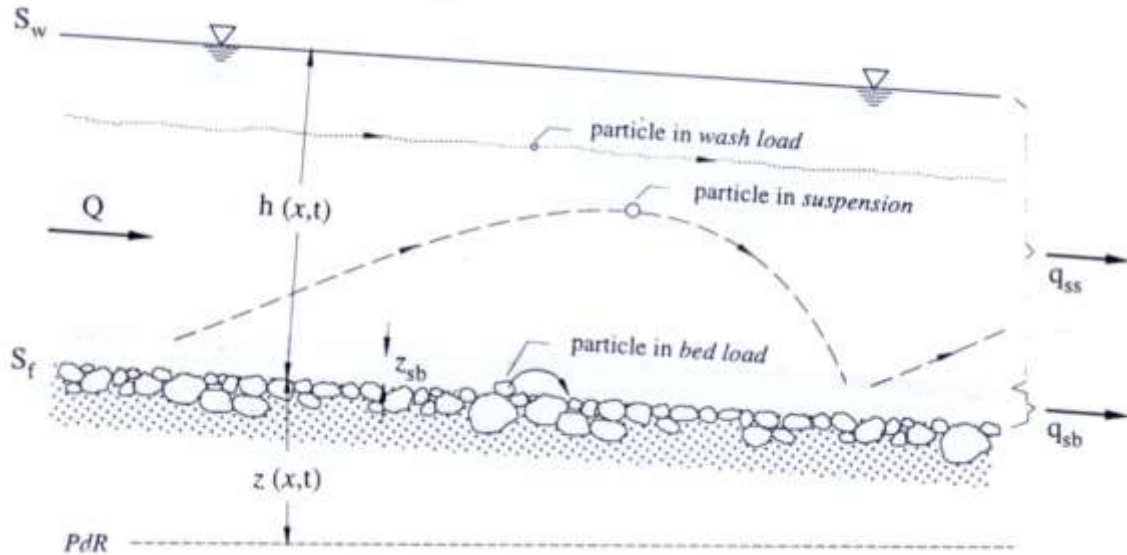
# Pergerakan Sedimen di Sungai



suspensi,  
terlarut

melompat,  
bergeser,  
menggelinding

# Gerak Sedimen



## Transpor Sedimen di Sungai Progo (Bendung Karangtalun)



pada musim hujan



pada musim kemarau

# Gerusan Tebing Sungai



Sungai Progo di Sapon, Yogyakarta



Sungai Serayu di Maos, Cilacap

# Gerusan Lokal di Sekitar Pilar Jembatan



Jembatan KA Comal, Jateng (2002)



Jembatan Trinil, Magelang (2010)

# Gerusan Lokal di Sekitar Pilar Jembatan



Jembatan Kebonagung, Yogyakarta (2006)



# Gerusan Lokal di Sekitar Pilar Jembatan



Jembatan Pabelan, Jateng (2011)

# Gerusan Lokal di Hilir Groundsill



Groundsill Kretek, Yogyakarta (2007)

# Sedimentasi, Debris Flow



Sungai Code, 2011

# Transpor Sedimen di Muara Sungai Progo



13 Januari 2001



7 April 2004

# Penutupan Muara Sungai oleh Sedimen



Muarareja, Tegal, 2002



# Sedimen di Waduk Gajah Mungkur



pada musim hujan



pada musim kemarau

Transpor Sedimen

**Awal Gerak Butir  
Sedimen**

# Konsep Awal Gerak

- Awal gerak butir sedimen sangat penting dalam kaitannya dengan studi tentang transpor sedimen, degradasi dasar sungai, desain saluran stabil, dsb.
- Dalam desain saluran stabil, salah satu metode adalah kemiringan dan dimensi saluran dibuat sedemikian hingga aliran tidak menimbulkan erosi di dasar dan tebing saluran.

# Definisi Awal Gerak Butir Sedimen

- Karena pergerakan butir sedimen sangat tidak teratur, maka sangat sulit untuk mendefinisikan dengan pasti sifat atau kondisi aliran yang menyebabkan butir sedimen mulai bergerak → kondisi kritis (awal gerak butir sedimen).
- Beberapa pendekatan dalam mendefinisikan awal gerak butir sedimen (dikaitkan dengan kondisi aliran):
  - 1) sudah ada satu butir sedimen yang bergerak
  - 2) sejumlah butir sedimen sudah bergerak
  - 3) butir material dasar secara umum sudah bergerak
  - 4) terjadi pergerakan butir sedimen dan awal gerak sedimen adalah situasi saat jumlah transpor sedimen sama dengan nol.

# Definisi Awal Gerak Butir Sedimen

- Pendekatan ke-1 dan ke-2 sangat subyektif, bergantung pada orang yang mengamati pergerakan butir sedimen.
- Metode ke-3 kurang tepat didefinisikan sebagai awal gerak butir sedimen karena transpor sedimen sudah terjadi di sepanjang dasar saluran.
- Metode ke-4 barangkali yang dapat dikatakan paling objektif; hanya saja, dibutuhkan pengukuran kuantitas transpor sedimen pada berbagai kondisi aliran yang berbeda untuk selanjutnya dilakukan interpolasi untuk memperoleh kondisi aliran saat kuantitas transpor sedimen sama dengan nol.

# Definisi Awal Gerak Butir Sedimen

- Pendekatan teoritis (lihat berbagai literatur tentang transpor sedimen) untuk menentukan awal gerak butir sedimen didasarkan pada pendekatan:
  - kecepatan,
  - gaya angkat, dan
  - konsep gaya seret (gesek).
- Namun mengingat bahwa kondisi alami dari pergerakan butir sedimen sangat tidak teratur (random), maka pendekatan dengan teori probabilitas juga sering digunakan.

# Konsep Awal Gerak Butir Sedimen

- Pendekatan kecepatan (*competent velocity*)
  - Ukuran butir material dasar sungai,  $d$ , dihubungkan dengan kecepatan di dekat dasar atau dengan kecepatan rerata yang menyebabkan pergerakan butir sedimen.
- Pendekatan gaya angkat (*lift force*)
  - Diasumsikan bahwa pada saat gaya angkat ke atas akibat aliran (*lift force*) sedikit lebih besar daripada berat butir sedimen di dalam air, maka kondisi awal gerak butir sedimen telah dicapai.
- Pendekatan tegangan geser kritis
  - Pendekatan ini didasarkan pada konsep bahwa gaya geser yang bekerja pada aliran dianggap paling berperan terhadap pergerakan butir sedimen.
- Pendekatan dengan cara lain, diantaranya dengan teori probabilitas.

# Pendekatan Tegangan Geser Kritis

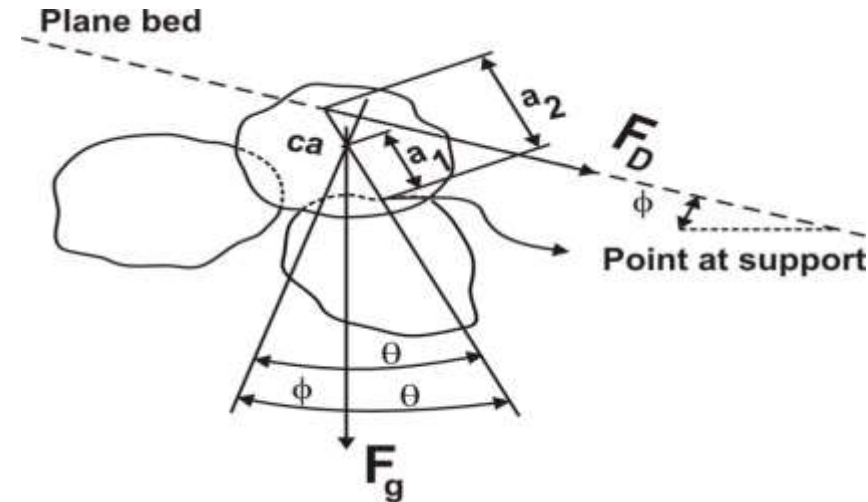
- Akibat adanya aliran air, timbul gaya-gaya aliran yang bekerja pada butir sedimen.
  - Gaya-gaya tersebut mempunyai kecenderungan untuk menggerakkan/menyeret butir sedimen.
  - Pada butir sedimen kasar (pasir dan batuan), gaya untuk melawan gaya-gaya aliran tsb merupakan fungsi berat butir sedimen.
  - Pada butir sedimen halus yang mengandung fraksi lanau (*silt*) atau lempung (*clay*) yang cenderung bersifat kohesif, gaya untuk melawan gaya-gaya aliran lebih disebabkan oleh haya kohesi daripada berat butir sedimen.
  - Kohesi butir sedimen halus merupakan fenomena yang kompleks; pengaruh kohesi bervariasi dan bergantung kandungan mineral.
- Pada kuliah ini, yang dibahas adalah **Sedimen Non-kohesif**

# Pendekatan Tegangan Geser Kritis

- Pada waktu gaya-gaya aliran (gaya hidrodinamik) yang bekerja pada butir sedimen mencapai suatu nilai tertentu, yaitu apabila gaya sedikit ditambah maka akan menyebabkan butir sedimen bergerak, maka kondisi ini dinamakan sebagai **kondisi kritis**.
- Parameter aliran pada kondisi kritis (tegangan geser dasar,  $\tau_o$ , dan kecepatan aliran,  $U$ , mencapai nilai kritis awal gerak sedimen).
  - Bila gaya-gaya aliran berada di bawah nilai kritisnya, maka butir sedimen tidak bergerak; dasar saluran dikatakan sebagai *rigid bed*.
  - Bila gaya aliran melebihi nilai kritisnya, butir sedimen bergerak; dasar saluran dikatakan sebagai dasar bergerak (*movable bed, erodible bed*).

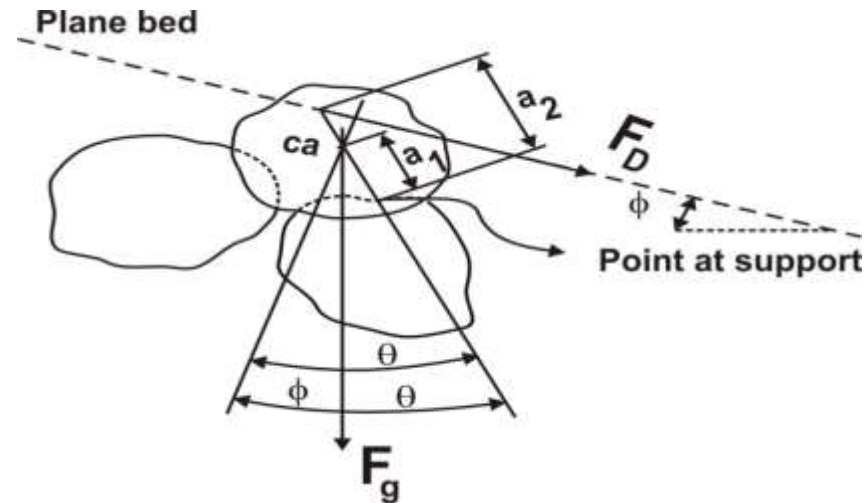
# Awal Gerak Butir Sedimen Non-kohesif

- Gaya-gaya yang bekerja pada suatu butiran sedimen non-kohesif dalam aliran air
  - Gaya berat (*gravity force*)
  - Gaya apung (*buoyancy force*)
  - Gaya angkat (*hydrodynamic lift force*)
  - Gaya seret (*hydrodynamic drag force*)



# Awal Gerak Butir Sedimen Non-kohesif

- Gaya-gaya yang bekerja pada suatu butiran sedimen non-kohesif dalam aliran air
  - $F_D$  : gaya seret
  - $F_g$  : gaya berat di dalam air
  - $\phi$  : sudut kemiringan dasar
  - $\theta$  : sudut gesek (longsor) alam (*angle of repose*)
  - $a_1$  : jarak antara pusat berat (CG) sampai titik guling (*point of support*)
  - $a_2$  : jarak antara pusat gaya seret (*drag*) sampai titik guling



# Awal Gerak Butir Sedimen Non-kohesif

- Pada kondisi kritis, butir sedimen hampir bergerak mengguling terhadap titik guling (*point of support*).
  - Gaya berat (*gravity force*) di dalam air

$$F_G = C_1(\gamma_s - \gamma)d_s^3$$

$C_1d_s^3$  : volume butir sedimen

$d_s$  : diameter signifikan butir sedimen (biasanya ukuran ayakan)

$C_1$  : konstanta untuk konversi volume butir sedimen

- Gaya seret (*drag force*)

$$F_D = C_2 \tau_c d_s^2$$

$C_1d_s^2$  : luas permukaan efektif butir sedimen yang mengalami tegangan geser kritis,  $\tau_c$

luas efektif adalah luas proyeksi butir pada bidang yang tegak lurus arah aliran

# Awal Gerak Butir Sedimen Non-kohesif

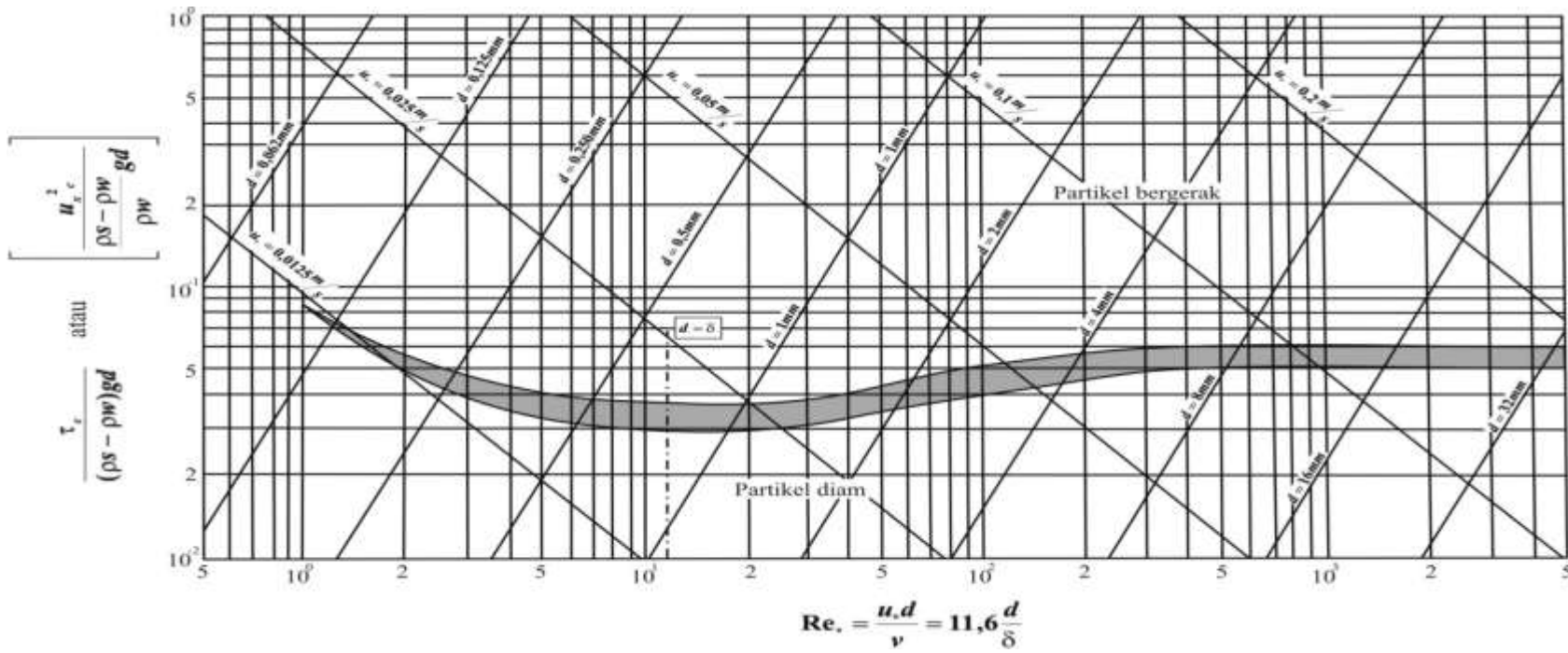
- Pada saat dicapai kondisi kritis

momen gaya berat butir sedimen = momen gaya seret

$$\text{jarak} \square F_G = F_D \square \text{jarak}$$

$$\frac{\tau_c}{(\gamma_s - \gamma) d_s} = \frac{\rho u_{*c}^2}{\gamma'_s d_s} = f \left( \frac{u_{*c}^2 d_s}{v} \right) = f(\text{Re}_*)$$

# Diagram Shields



# Contoh Hitungan

- Diketahui suatu saluran dengan karakteristika sbb.
  - kedalaman aliran  $h = 3 \text{ m}$
  - kemiringan dasar saluran,  $S_o = 10^{-4}$
  - butir material dasar seragam  $d = 2 \text{ mm}$  dan rapat massa  $\rho_s = 2650 \text{ kg/m}^3$
  - air  $T = 12^\circ\text{C}$ ,  $\rho_w = 1000 \text{ kg/m}^3$ ,  $g = 9.8 \text{ m/s}^2$
- Hitunglah
  - kestabilan butir material dasar
  - kestabilan butir dengan berdasarkan nilai-nilai tegangan geser di dasar, tegangan geser kritis, kecepatan geser kritis, Angka Reynold butir sedimen kritis
  - $\rho_s = 3000 \text{ kg/m}^3$  dan  $T = 20^\circ\text{C}$ ,  $\rho_w$  konstan, berapakah  $\tau_c$  dan  $Re_{*c}$

□ Kestabilan butir material dasar

$$T_{\text{air}} = 12^\circ\text{C} \rightarrow v_{\text{air}} = 1.25 \times 10^{-6} \text{ m}^2/\text{s}$$

$\rho_s = 2650 \text{ kg/m}^3 \rightarrow$  Seluruh bagian Diagram Shields berlaku

$$u_* = \sqrt{ghS_o} = \sqrt{9.81 \square 3 \square 10^{-4}} = 0.0542 \text{ m/s}$$

$$d = 2 \text{ mm}$$



Diagram Shields



1

□ butir sedimen bergerak (tidak stabil)

□ Kestabilan butir material dasar berdasarkan tegangan geser

$$d = 2 \text{ mm} \rightarrow \text{dari Diagram Shields diperoleh: } \frac{\tau_c}{(\rho_s - \rho)gd} = 0.04 \rightarrow 2$$

$$\tau_c = 0.04 \square (2650 - 1000) \square 9.81 \square 0.002 = 1.294 \text{ N/m}^2$$



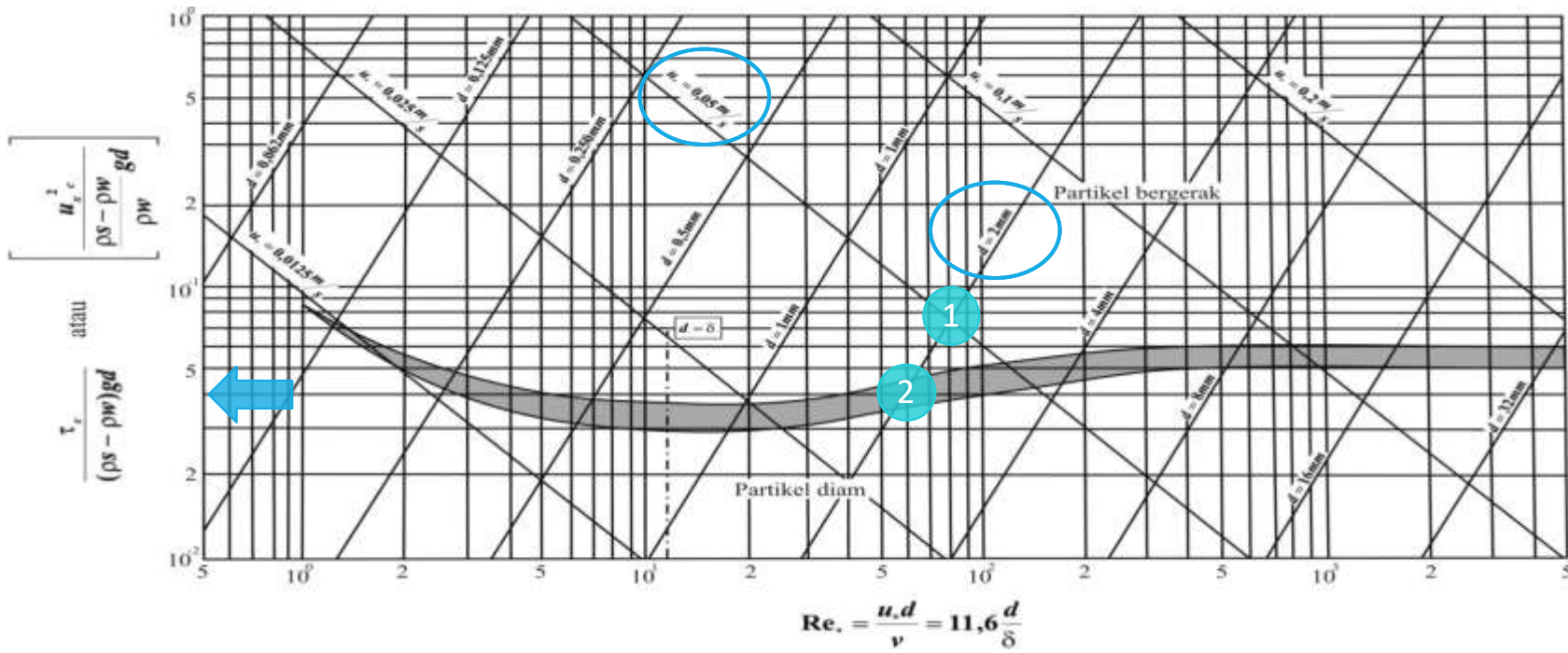
$$\tau_o > \tau_c$$

$$\tau_o = \rho g h S_o = 1000 \square 9.81 \square 3 \square 0.0004 = 2.94 \text{ N/m}^2$$



□ butir sedimen bergerak

# Diagram Shields



- ❑ Kestabilan butir material dasar berdasarkan kecepatan gesek (*friction velocity*)

$$\frac{(u_{*c})^2}{\Delta g d} = 0.04; \quad \Delta = \frac{\rho_s - \rho}{\rho} = \frac{2650 - 1000}{1000} = 1.65$$

$$u_{*c} = \sqrt{0.04 \square 1.65 \square 9.81 \square 0.002} = 0.036 \text{ m/s}$$

Dari data aliran, telah dihitung:

$$u_* = \sqrt{ghS_o} = \sqrt{9.81 \square 3 \square 10^{-4}} = 0.0542 \text{ m/s}$$

$u_* > u_{*c}$   butir sedimen bergerak

$$Re_{*c} = \frac{u_* d}{v} = \frac{0.036 \square 0.002}{1.25 \square 10^{-6}} = 57.6$$

## □ Tegangan geser kritis dan Angka Reynolds

$$\rho_s = 3000 \text{ kg/m}^3$$

$$\rho_w = 1000 \text{ kg/m}^3$$

$$T_{\text{air}} = 20^\circ\text{C} \quad v = 10^{-6} \text{ m}^2/\text{s}$$

$d = 2 \text{ mm}$  □ Diagram Shields:

$$\frac{\tau_c}{(\rho_s - \rho_w)gd} = 0.04 \quad \rightarrow \quad 2$$

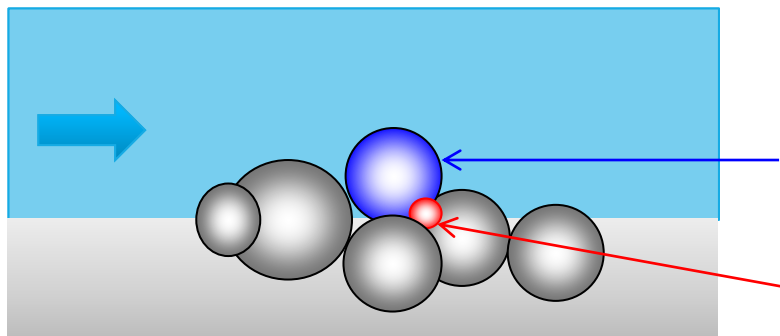
$$\tau_c = 0.04 \square (3000 - 1000) \square 9.81 \square 0.002 = 1.57 \text{ N/m}^2$$

$$u_{*c} = \sqrt{\frac{\tau_c}{\rho_w}} = \sqrt{\frac{1.57}{1000}} = 0.0396$$

$$Re_{*c} = \frac{u_{*c} d}{v} = \frac{0.0396 \square 0.002}{10^{-6}} = 79.2$$

# Gradasi Butir Sedimen Beragam

- Material dasar terdiri dari campuran berbagai ukuran butir sedimen



- butir besar terpapar dan bergerak karena pengaruh kecepatan aliran
- butir kecil terlindungi (terkunci) oleh butir berukuran besar

# Gradasi Butir Sedimen Beragam

## □ Persamaan Egiazaroff (1965)

$$\frac{u_{*ci}^2}{u_{*cm}^2} = \frac{1.64}{\log \frac{19d_i^2}{d_m}} \quad \text{dan} \quad \frac{(u_{*cm})^2}{\sigma - \rho g d_m} = 0.05$$

$$\frac{(u_{*cm})^2}{\frac{\rho_s - \rho}{\rho} g d_m} = 0.05$$

$u_{*ci}$  : kecepatan geser kritis untuk butir sedimen berdiameter  $d_i$ ,

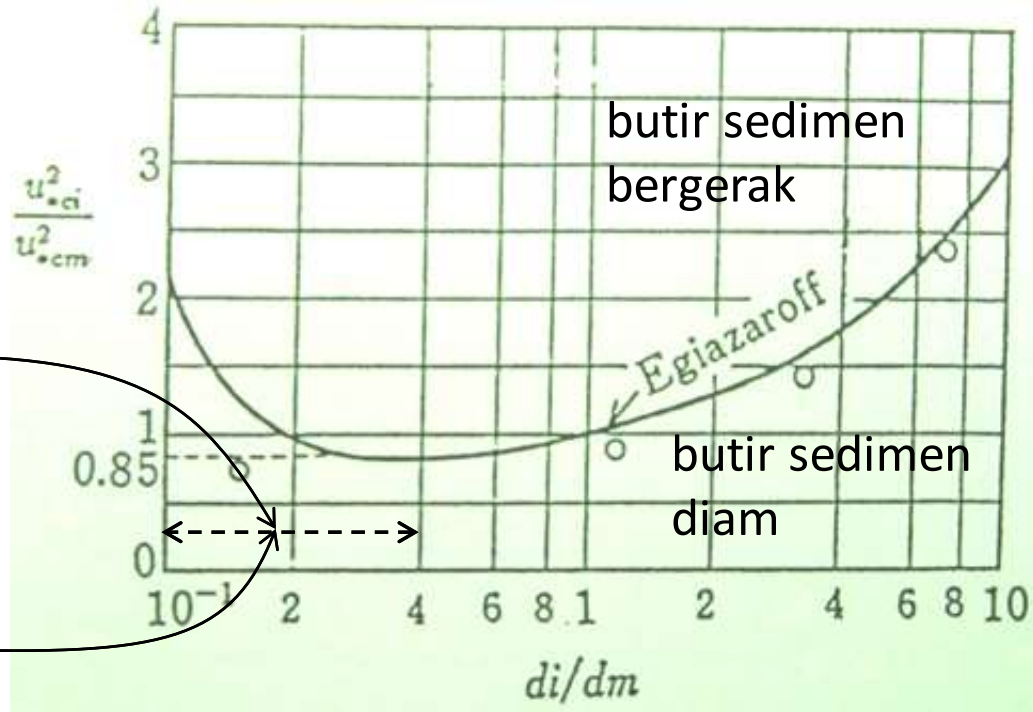
$u_{*cm}$  : kecepatan geser kritis untuk butir sedimen berdiameter  $d_m$

## □ Persamaan Ashida and Michiue (1971)

$$\frac{(u_{*ci})^2}{(u_{*cm})^2} = 0.85 \quad (d_i \leq 0.4d_m)$$

# Gradasi Butir Sedimen Beragam

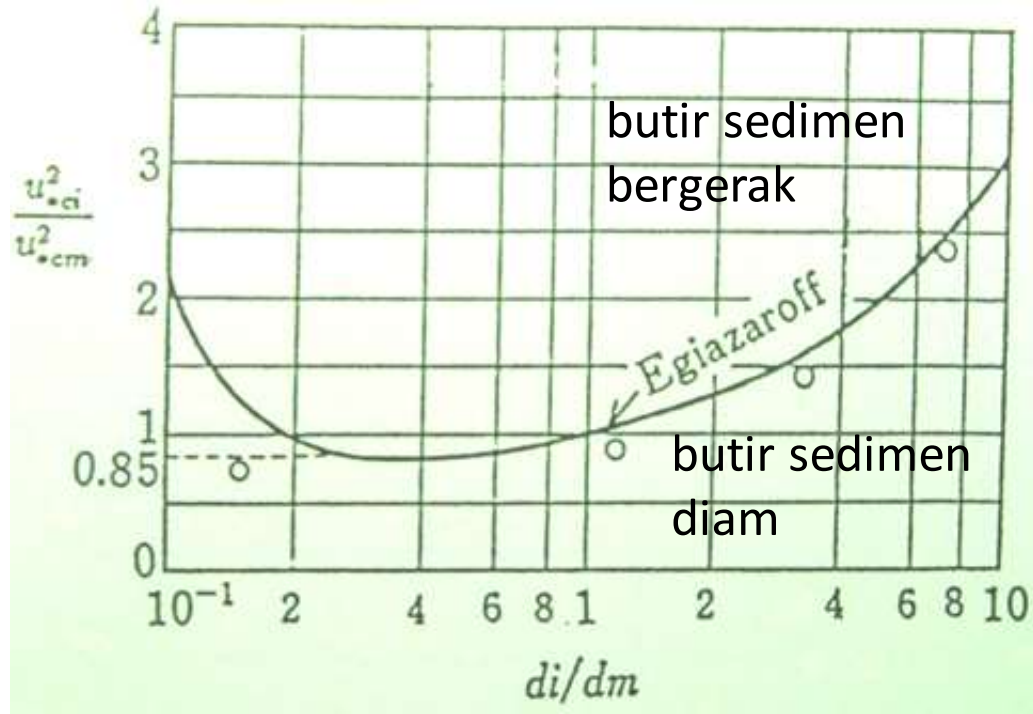
di kisaran ini, Persamaan Egiazaroff overestimates



di kisaran ini, dipakai  
Persamaan Ashida and  
Michiue

# Gradasi Butir Sedimen Beragam

Jika butir sedimen berdiameter  $d_i = d_m$  tidak bergerak, maka butir sedimen berdiameter  $d_i < d_m$  tidak dapat bergerak → efek *sheltering*.

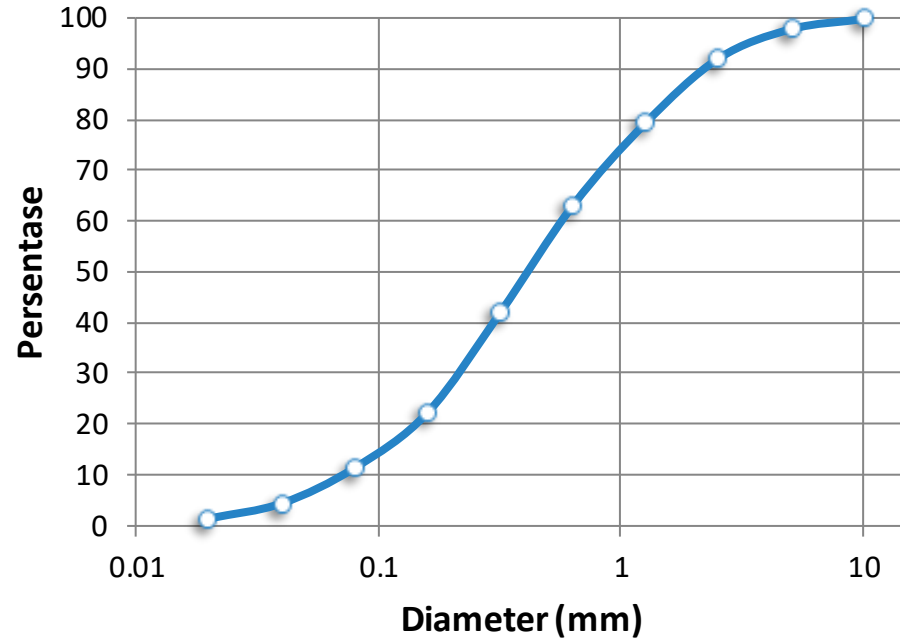


# Contoh Hitungan

- Diketahui
  - gradasi butir material dasar sungai (tabel pada slide berikutnya)
  - *specific gravity* butir sedimen 2.65
  - kedalaman aliran 1.5 m
  - kemiringan garis energi 1/1600
- Cari ukuran butir sedimen yang bergerak
  - asumsi tegangan geser kritis:  $\tau_{*cm} = 0.05$

# Gradasi Ukuran Butir Sedimen

Diameter (mm)	Percentase
0.01 – 0.02	1.3
0.02 – 0.04	3.0
0.04 – 0.08	7.0
0.08 – 0.16	10.9
0.16 – 0.32	19.8
0.32 – 0.64	21.2
0.64 – 1.28	16.3
1.28 – 2.56	12.7
2.56 – 5.12	5.8
5.12 – 10.24	2.0
$\Sigma$	100.0



Diameter (cm)	Persentase	Dia. representatif $d_i$ (cm)	$d_i / d_m$	$(u_{*ci} / u_{*cm})^2$	$u_{*ci}$ (cm/s)	$u_{*ci,uniform}$ (cm/s)
(1)	(2)	(3)	(4)	(5)	(6)	(7)
0.01 – 0.02	1.3	0.01	0.0164	0.85	7.81	1.12
0.02 – 0.04	3.0	0.03	0.0328	0.85	7.81	1.29
0.04 – 0.08	7.0	0.06	0.0655	0.85	7.81	1.71
0.08 – 0.16	10.9	0.11	0.1311	0.85	7.81	2.34
0.16 – 0.32	19.8	0.23	0.2621	0.85	7.81	3.87
0.32 – 0.64	21.2	0.45	0.5243	0.86	7.87	5.77
0.64 – 1.28	16.3	0.91	1.0485	1.02	8.55	8.56
1.28 – 2.56	12.7	1.81	2.0971	1.34	9.82	12.10
2.56 – 5.12	5.8	3.62	4.1941	1.90	11.68	17.12
5.12 – 10.24	2.0	7.24	8.3719	2.83	14.26	24.18

Kolom 3	diameter representatif, $d_i = \sqrt{d_{il} d_{iu}}$
Kolom 4	$d_i/d_m ; d_m = f_i (d_i) = 0.86 \text{ cm}$
Kolom 5	$\frac{u_{*ci}^2}{u_{*cm}^2} = 0.85 \text{ untuk } d_i \leq 0.4d_m , \frac{u_{*ci}^2}{u_{*cm}^2} = \frac{1.64}{(\log 19 d_i/d_m)^2} \frac{d_i}{d_m}$ $\tau_{*cm} = \frac{(u_{*cm})^2}{(\sigma/\rho - 1) g d_m} = 0.05 \quad u_{*cm} = 8.47 \text{ m/s}$
Kolom 6	cukup jelas
Kolom 7	Diagram Shields

**Transpor Sedimen**

**Bed load**

# Transpor Sedimen

- Persamaan transpor sedimen yang ada di HEC-RAS
  - Ackers and White (total load)
  - Engelund and Hansen
  - Laursen (total load)
  - Meyer-Peter and Müller
  - Toffaleti
  - Yang
- Beberapa persamaan transpor sedimen yang juga lazim dijumpai
  - Einstein
  - Frijlink
  - Graf and Acaroglu (total load)

# Transpor Sedimen Dasar (*Bed Load Transport*)

- Kasus yang dibahas
  - Sungai (saluran) yang memiliki dasar rata dan terdiri dari material padat yang dapat bergerak, bersifat non-kohesif, serta berdiameter seragam
  - Butir sedimen tersebut bergerak akibat gaya yang ditimbulkan oleh aliran seragam dan permanen
- Kasus di atas adalah penyederhanaan dari kasus sesungguhnya yang dijumpai di lapangan
  - Dasar sungai tidak rata, memiliki konfigurasi (bentuk) dasar bergelombang (ripples, dunes, anti-dunes)
  - Material dasar sungai terdiri dari butir sedimen berbagai ukuran (tak-seragam) dan mungkin saja bersifat kohesif

# Transpor Sedimen Dasar (*Bed Load Transport*)

## □ Transpor sedimen

$$\Phi = \frac{q_{sb}}{\sqrt{(s_s - 1) g d^3}}$$

debit sedimen (bed load) per satuan lebar sungai,  $\text{m}^3/\text{s}/\text{m}$   
kadang pula dituliskan dalam satuan,  $\text{m}^2/\text{s}$

↓

diameter butir sedimen, m  
percepatan gravitasi,  $\text{m}/\text{s}^2$

↓

rapat masa relatif,  $s_s = \rho_s / \rho$

intensitas (debit) transpor sedimen dasar, tak berdimensi

Ingin diameter butir sedimen,  $d$ , lazim  
dinyatakan dalam satuan milimeter →  
perlu diubah dulu menjadi meter.

# Transpor Sedimen Dasar (*Bed Load Transport*)

## □ Transpor sedimen

$$\Phi = f(\tau_*) \Leftrightarrow \frac{q_{sb}}{\sqrt{(s_s - 1) g d^3}} = f\left(\frac{\tau_b}{(\gamma_s - \gamma) d}\right)$$

Persamaan di atas sering dituliskan sbb.:

$$\Phi = f(\Psi) \quad \rightarrow \quad \tau_* \square \Psi^{-1}$$

$\Psi$  dikenal sebagai intensitas tegangan geser, tak berdimensi

intensitas transpor sedimen merupakan fungsi intensitas tegangan geser

# Transpor Sedimen Dasar (*Bed Load Transport*)

## □ Transpor sedimen

$$\Phi = f(\tau_*) \quad \blacksquare \quad \begin{array}{l} \text{sering kali dinyatakan dalam bentuk } power law: \Phi = \alpha (\tau_*)^\beta \\ \text{karena} \quad \frac{U}{\sqrt{\tau_b/\rho}} = \sqrt{\frac{8}{f}} \end{array}$$

$$\frac{U}{\sqrt{\tau_b/\rho}} = \sqrt{\frac{8}{f}}$$

$$U^2 \propto \tau_b \propto \tau_*$$

oleh karena itu, persamaan ini dapat didekati dengan:

$$q_{sb} = a_s U^{b_s} \quad \leftarrow \quad a_s = \alpha, \quad b_s = 2\beta$$

# Schoklitsch (1934, 1950)

$$q_{sb} = \frac{2.5}{s_s} S_e^{3/2} (q - q_{cr})$$

[m<sup>3</sup>/s/m]

debit (air) kritis  $\rightarrow q_{cr} = 0.26 (s_s - 1)^{5/3} \frac{d^{3/2}}{S_e^{7/6}}$

- Persamaan Schoklitsch berlaku untuk
  - diameter butir  $d > 6$  mm
  - butir seragam
  - untuk butir tak-seragam,  $d = d_{40}$
  - kemiringan dasar sungai sedang sampai curam

# Meyer-Peter and Müller (1934, 1948)

$$0.25 \rho^{1/3} \frac{(g'_{sb})^{2/3}}{(\gamma_s - \gamma)d} = \frac{\gamma R_{hb} \xi_M S_e}{(\gamma_s - \gamma)d} - 0.047$$

$$g'_{sb} = \frac{g_{sb} (\gamma_s - \gamma)}{\gamma_s} \quad \text{dan} \quad \frac{g_{sb}}{\gamma_s} = q_{sb}$$

$\downarrow$   
 $m^3/s/m$

- debit sedimen dinyatakan dalam bobot terendam, kg/s/m
- $R_{hb}$  adalah radius hidraulik dasar sungai
- $d = d_{50}$  untuk butir tak-seragam



$$\Phi = 8 \left( \xi_M \tau_* - \tau_{*cr} \right)^{3/2}$$

$$\xi_M = \frac{K_s}{K'_s}^{3/2}$$

parameter  
kekasaran dasar

$$K_s = \frac{U}{R_{hb}^{2/3} S_e^{1/2}}$$

$\downarrow$   
 $k_{\text{Strickler total}}$

$$K'_s = \frac{26}{d_{90}^{1/6}}$$

$\downarrow$   
 $k_{\text{Strickler butir sed.}}$

# Meyer-Peter and Müller (1934, 1948)

- Persamaan M-P&M dapat pula dituliskan dalam bentuk sbb.

$$0.25 \rho^{1/3} (g'_{sb})^{2/3} = \gamma R_{hb} \xi_M S_e - 0.047(\gamma_s - \gamma)d$$

$$\xi_M = \frac{C}{C_{d90}}^{3/2}$$



parameter  
kekasaran dasar

$$C = \frac{U}{R_{hb}^{1/2} S_e^{1/2}}$$



$C_{Chezy}$

$$C_{d90} = 18 \log \frac{12R_h}{d_{90}}$$



$C_{Chezy}$  butir sed.

$$g'_{sb} = \frac{g_{sb}(\gamma_s - \gamma)}{\gamma_s}$$



[kg/s/m]

$$\frac{g_{sb}}{\gamma_s} = q_{sb}$$



[m<sup>3</sup>/s/m]

# Meyer-Peter and Müller (1934, 1948)

## ■ Persamaan M-P&M

- diameter butir  $d > 2 \text{ mm}$
- butir seragam maupun tak-seragam
- kemiringan dasar sungai sedang sampai curam
- apabila dasar sungai rata, tanpa *bed-form*,  $\xi_M = 1$
- apabila dasar sungai tidak rata, ada *bed-form*,  $0.35 < \xi_M < 1$

# Einstein (1950)

$$\Psi^* = \zeta_H \zeta_P \left( \beta^2 / \beta_\chi^2 \right) \frac{\gamma_s - \gamma}{\gamma} \frac{d}{R'_{hb} S_e}$$

intensitas aliran

$$\beta = \log(10.6)$$

$$\beta_\chi = \log(10.6 X / \Delta)$$

$$X = \begin{cases} 0.77 \Delta & \Delta/\delta > 1.8 \\ 1.39 \delta & \Delta/\delta < 1.8 \end{cases}$$

$$\Delta = f(k_s / \delta) \Rightarrow \Delta = k_s / \chi$$

$$\delta = 11.5 v / u'_*$$

vs

$$R'_{hb} = \xi_M R_h$$

radius hidraulik butir sedimen

$$\Phi^* = \frac{q_{sb}}{\sqrt{(s_s - 1) g d^3}}$$

[m<sup>3</sup>/s/m]

intensitas transpor sedimen

$$d = d_{35}$$

Grafik

$$\zeta_H \quad \zeta_P$$

Grafik

Jika butir sedimen seragam

$$\zeta_H = 1, \quad \zeta_P = 1, \quad \left( \beta^2 / \beta_\chi^2 \right) = 1$$

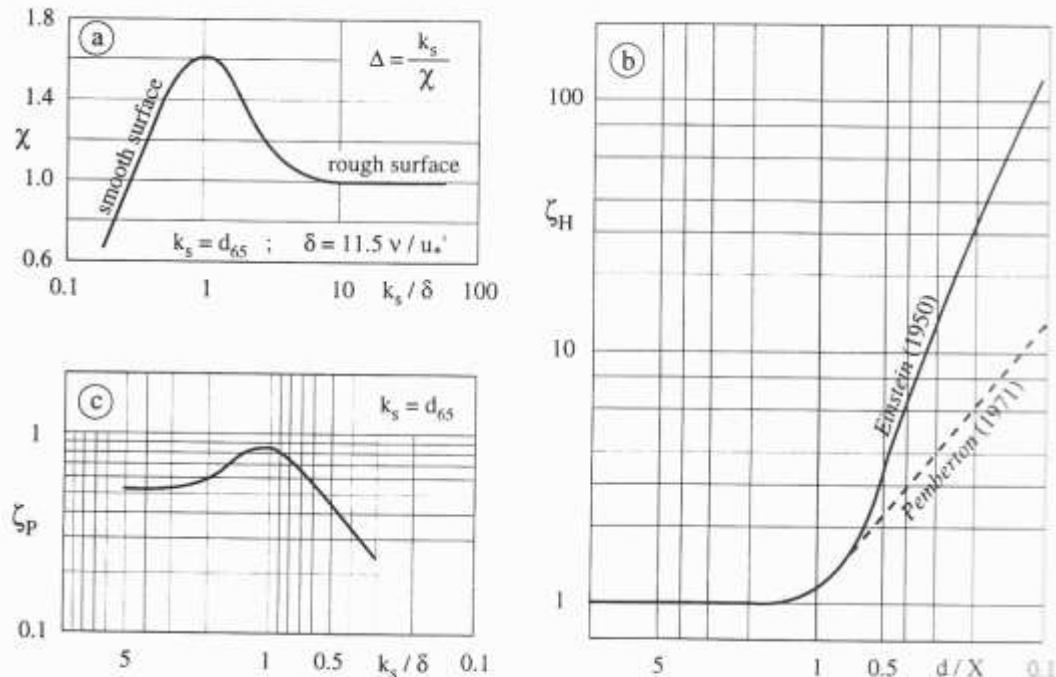


Fig. 6.7 Correction coefficients : (a) of velocity distribution, (b) of hiding and (c) of lift force (see *Graf*, 1971, p. 146).

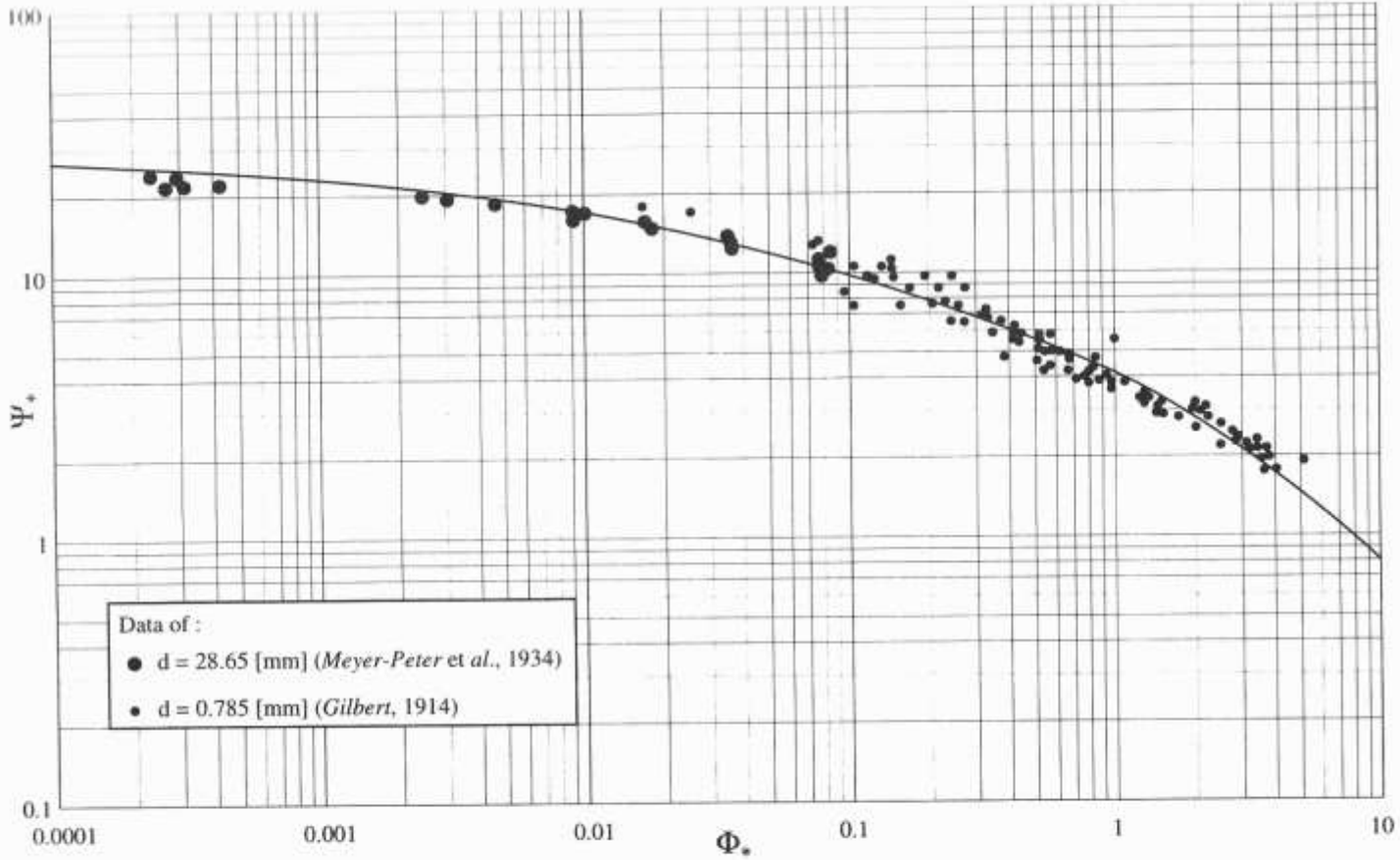


Fig. 6.8 Equation of bed load,  $\Phi_* = f(\Psi_+)$ , of Einstein (see Graf, 1971, p. 148).

# Engelund and Hansen

$$q_{sb} = 0.05 \gamma_s U^2 \sqrt{\frac{d}{g(\gamma_s - 1)}} \frac{\tau_b}{(\gamma_s - \gamma) d^{3/2}}$$

↓  
[m<sup>3</sup>/s/m]

$$d = d_{50}$$
$$\tau_b = \rho g R_h S_e$$

$$q_{sb} = 0.05 \rho_s g U^2 \sqrt{\frac{d}{(s_s - 1)g}} \frac{\tau_b}{(\rho_s - \rho) g d^{3/2}}$$

# Frijlink (1952)

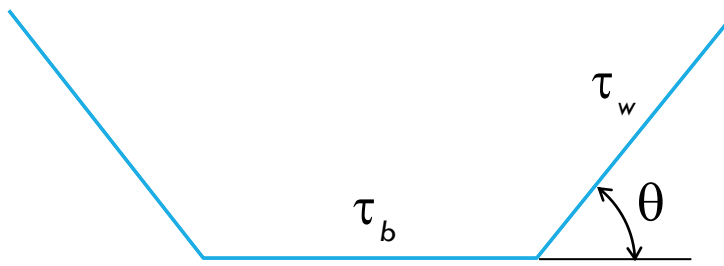
$$\frac{q_{sb}}{d_m \sqrt{g \mu R_h S_e}} = 5 \exp \left( -0.27 \frac{\rho_s - \rho}{\rho} \frac{d_m}{\mu R_h S_e} \right) \quad \Phi^* = f(\Psi^*) \quad \text{Grafik}$$

m<sup>3</sup>/s/m

$$\mu = \xi_M = \frac{C}{C_{d90}}^{3/2} = \frac{18 \log \frac{12R_h}{k_s}^{3/2}}{18 \log \frac{12R_h}{d_{90}}^{3/2}}$$

- ↳  $\xi_M$  adalah *ripple factor*
- ↳  $C$  adalah koefisien kekasaran dasar Chezy sesungguhnya (butir sedimen + bentuk dasar sungai)
- ↳  $C_{d90}$  adalah koefisien kekasaran dasar Chezy menurut butir sedimen saja ( $d_{90}$ )

# Tegangan Geser di Tebing Sungai



Tegangan geser pada awal gerak butir sedimen

$$\frac{\tau_w}{\tau_b} = \cos \theta - \frac{\tan^2 \theta}{\tan^2 \phi}$$

) *internal angle of repose*

# Kecepatan Jatuh Butir Sedimen

$$Re = \frac{w d}{\nu} < 1 \rightarrow w = \frac{1}{18} \frac{\rho_s - \rho}{\mu} g d^2 \rightarrow C_D = \frac{24}{Re}$$

$$Re = \frac{w d}{\nu} > 1 \rightarrow w = \frac{4}{3} \frac{g d}{C_D} \frac{\rho_s - \rho}{\rho} \rightarrow C_D \rightarrow \text{Grafik S-2}$$

Grafik S-1 → kecepatan jatuh vs diameter butir sedimen  
butir berbentuk bola dengan berbagai nilai temperatur air  
butir sembarang, menurut Rubey (garis strip)

# Konfigurasi Dasar Sungai

- Debit (kecepatan) aliran bertambah, maka dasar sungai berubah
  - Plain bed (dasar rata)
    - bed-load terjadi, sebagian butir halus loncat dan menjadi suspensi
  - Ripples
    - dasar bergelombang, teratur, amplitudo << panjang gelombang → gundukan kecil
  - Dunes
    - dasar seperti gelombang, memanjang ke arah hilir (sisi hulu lebih landai), erosi di sisi hilir
    - dunes lama-lama menyatu membentuk “Bars” → dasar rata
  - Sheet flow
    - dasar rata, daya angkut besar, terjadi pada  $Fr \sim 1$ ,  $k \sim d$
  - Anti-dunes
    - endapan pada sisi hilir dunes, erosi di sisi hulu dunes, bentuk gelombang dasar sungai relatif simetris, gelombang dasar ini bergerak ke arah hilir, terjadi pada  $Fr > 1$
- Grafik S-4

**Transpor Sedimen**

**Transpor Sedimen  
Total**

# Graf et al. (1968, 1987, 1995)

$$\Psi_A = \frac{(s_s - 1)d}{S_e R_h}$$

$$\Phi_A = \frac{C_s U R_h}{\sqrt{(s_s - 1)gd^3}} = \frac{(q_s/q)UR_h}{\sqrt{(s_s - 1)gd^3}} \quad d = d_{50}$$

$$\Phi_A = 10.39 (\Psi_A)^{-2.52} \quad \text{untuk } 10^{-2} < \Phi_A < 10^3 \text{ atau } \Psi_A \leq 14.6$$

$$\Phi_A = 10.4 K (\Psi_A)^{-1.5}$$



$\begin{array}{ c c } \hline \square & \Psi_A^{-1} \\ \hline \end{array}$ $K = \begin{cases} \begin{array}{ c c } \hline \square & (1 - 0.045 \Psi_A)^{2.5} \\ \hline \end{array} & \text{untuk } \Psi_A \leq 14.6 \\ \begin{array}{ c c } \hline \square & 0 \\ \hline \end{array} & 14.6 < \Psi_A \leq 22.2 \\ \begin{array}{ c c } \hline \square & \Psi_A > 22.2 \\ \hline \end{array} & \Psi_A > 22.2 \end{cases}$
--

# Ackers and White (1973)

$$F_{gr} = \frac{u_*^{n_w}}{\sqrt{(s_s - 1)gd}} \frac{U}{\sqrt{32 \log(10h_m/d)^{1-n_w}}}$$

$$G_{gr} = C_w \frac{F_{gr}^{m_w}}{A_w} - 1$$

$$C_s = \frac{q_s}{q} = G_{gr} \frac{d}{h_m} \frac{U}{u_*^{n_w}}$$

$C_s$  : konsentrasi rata-rata tampang

$h_m$  : kedalaman rata-rata,  $A/B$

# Ackers and White (1973)

koefisien	$d_* > 60$ $d > 2.5 \text{ mm}$	$1 < d_* \leq 60$	$d_* \leq 1$ $d \leq 0.04 \text{ mm}$
$n_w$	0	$(1 - 0.56 \log d_*)$	1
$m_w$	1.5	$(9.66/d_*) + 1.34$	
$A_w$	0.17	$(0.23/d_*^{0.5}) + 0.14$	
$C_w$	0.025	$\log C_w = 2.86 \log d_* - (\log d_*)^2 - 3.53$	

$$d_* = d \left( s_s - 1 \right) \frac{g}{v^2}^{1/3}$$

# Persamaan Transpor Sedimen

Formula	$d$ [mm]	$S_f$	$d_x$ [mm]
Schoklitsch	0.3 – 7.0 (44.0)	0.003 – 0.1	$d_{40}$
Meyer-Peter <i>et al.</i>	3.1 – 28.6	0.0004 – 0.02	$d_m$ ( $d_{50}$ )
Einstein	0.8 – 28.6	-	$d_{35}$
Graf and Acaroglu	0.3 – 1.7 (23.5)	-	$d_{50}$
Ackers and White	0.04 – 4.0	$Fr < 0.8$	$d_{35}$

$d_x$  : diameter ekuivalen, untuk butir sedimen tak-seragam

# Contoh

- Sebuah sungai lurus, tampang trapesium
  - lebar dasar,  $B = 55$  m
  - kemiringan talud  $V:H = 3:5$
  - kemiringan dasar sungai  $S_o = 0.00013$
  - kedalaman aliran normal  $h = 1.5$  m
  - kecepatan aliran di permukaan  $V = 0.7$  m/s
  - material dasar sungai terdiri dari pasir:
    - $d_{35} = 0.6$  mm,  $d_{50} = 0.9$  mm,  $d_{65} = 1.2$  mm,  $d_{90} = 2$  mm
    - rapat massa,  $\rho_s = 2670$  kg/m<sup>3</sup>
  - rapat massa air,  $\rho = 1000$  kg/m<sup>3</sup>
  - temperatur air 20°C
  - percepatan gravitasi,  $g = 9.8$  m/s<sup>2</sup>
- Hitunglah
  - debit yang menyebabkan  $d_{50}$  bergerak
  - debit pada kedalaman normal
  - debit sedimen (bed-load) menurut Einstein
  - jika debit sungai meningkat 67%, hitunglah kedalaman aliran
  - debit sedimen menurut MPM
  - debit sedimen menurut Frijlink
  - diameter butir minimum sbg pelindung dasar sungai

Terima kasih